



北京航空航天大学
BEIHANG UNIVERSITY

现代控制理论

王陈亮

北京航空航天大学
自动化科学与电气工程学院



2.4.1 带翼锥形体构型高超声速飞行器模型

考虑NASA Langley 研究中心给出的一类带翼锥形体构型的高超声速飞行器纵向模型。该高超声速飞行器模型示意图如下图所示：

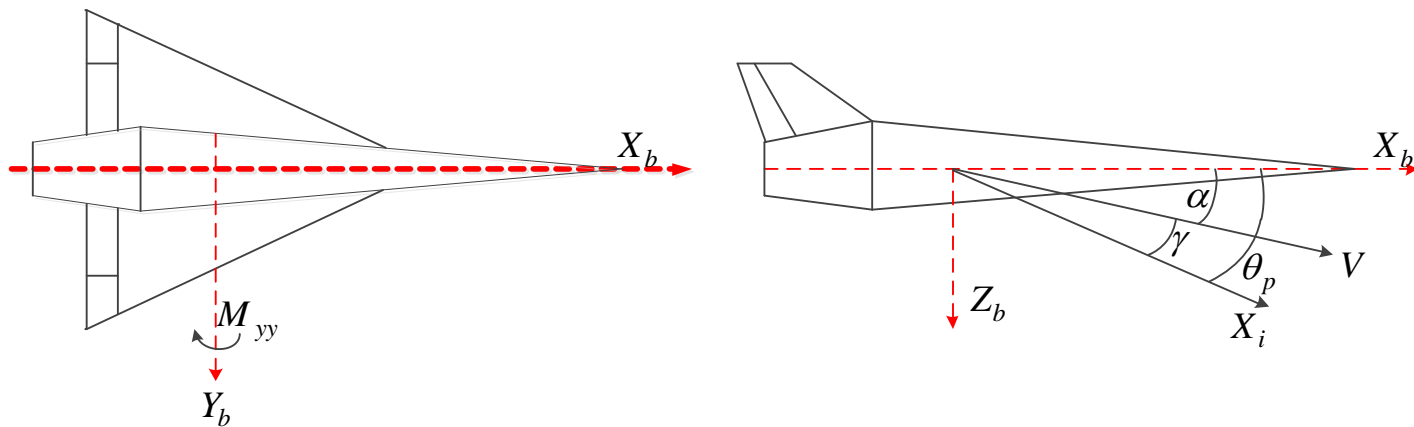


图2.4.1 带翼锥形体高超声速飞行器纵向模型示意图



2.4 高超声速飞行器自适应控制

模型的数学表达式为：

$$\begin{aligned}\dot{V} &= \frac{T \cos \alpha - D}{m} - \frac{G \sin \gamma}{r^2} \\ \dot{h} &= V \sin \gamma \\ \dot{\gamma} &= \frac{L + T \sin \alpha}{m} - \frac{G - V^2 r \cos \gamma}{V r^2} \\ \dot{\alpha} &= q - \dot{\gamma} \\ \dot{q} &= M_{yy} / I_{yy}\end{aligned}\quad (2.4.1)$$

其中： $L = \bar{q} S C_L$, $D = \bar{q} S C_D$, $T = \bar{q} S C_T$

$$M_{yy} = \bar{q} S \bar{c} [C_M(\alpha) + C_M(\delta_e) + C_M(q)]$$

$$\bar{q} = \frac{1}{2} \rho V^2, r = h + R_e, C_L = C_L^\alpha \alpha$$

$$C_D = C_D^{\alpha^2} \alpha^2 + C_D^\alpha \alpha + C_D^0$$

$$C_T = C_T^{\delta_T} \delta_T + C_T^0, C_M(\alpha) = C_{M,\alpha}^{\alpha^2} \alpha^2 + C_{M,\alpha}^\alpha \alpha + C_{M,\alpha}^0$$

$$C_M(q) = (\bar{c} / 2V) q (C_{M,q}^{\alpha^2} \alpha^2 + C_{M,q}^\alpha \alpha + C_{M,q}^0)$$

$$C_M(\delta_e) = c_e (\delta_e - \alpha)$$

V	速度	m	飞行器质量	S	机翼参考面积
γ	航迹倾角	T	推力	\bar{q}	气动压力
h	高度	D	阻力	ρ	空气密度
α	攻角	L	升力	\bar{c}	平均气动弦长
q	俯仰角速度	M_{yy}	俯仰力矩	δ_T	油门开度
r	距地心距离	I_{yy}	俯仰转动惯量	δ_e	升降舵舵偏角
R_e	地球半径	G	重力常数		



2.4.2 指定跟踪性能控制方法

定义高度和速度跟踪误差为

$$e_1 = h - h_r, e_2 = V - V_r \quad (2.4.2)$$

上式中 h_r 和 V_r 分别为高度和速度的参考指令。对于跟踪误差 $e_i (i = 1, 2)$, 定义一个指数衰减的性能函数 p_i

$$p_i(t) = (p_{0i} - p_{\infty i}) \exp(-a_i t) + p_{\infty i}, i = 1, 2 \quad (2.4.3)$$

上式中, $p_{0i} > p_{\infty i} > 0$ 和 $a_i > 0$ 均为预先指定的设计参数。



进而，指定跟踪性能问题可以表示为：

$$-\underline{b}_i p_i(t) < e_i(t) < \bar{b}_i p_i(t), \forall t \geq 0 \quad (2.4.4)$$

其中 $\underline{b}_i > 0$ 和 $\bar{b}_i > 0$ 为预先指定的设计参数。

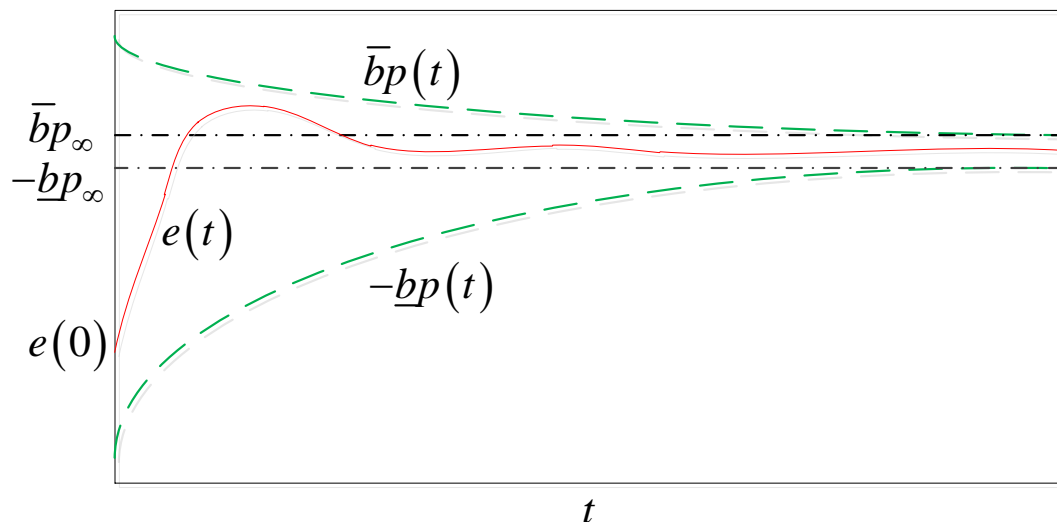


图 2.4.2 指定跟踪性能示意图



为了将公式 (2.4.4) 所描述的受约束控制问题转化为等效的无约束控制问题, 定义如下非线性函数来对跟踪误差进行转化。

$$w_i = W_i\left(\frac{e_i}{p_i}\right), i = 1, 2 \quad (2.4.5)$$

上式中, W_i 为单调递增的函数, 且具有如下性质

$$\begin{aligned} W_i(\cdot): (-\underline{b}_i, \bar{b}_i) &\rightarrow (-\infty, +\infty) \\ \lim_{\substack{e_i \rightarrow -\underline{b}_i \\ p_i}} W_i\left(\frac{e_i}{p_i}\right) &= -\infty, \quad \lim_{\substack{e_i \rightarrow \bar{b}_i \\ p_i}} W_i\left(\frac{e_i}{p_i}\right) = +\infty \end{aligned} \quad (2.4.6)$$



由公式(2.4.6)可以看出, 通过非线性函数 w_i 可以对变量 $\frac{e_i}{p_i}$ 做一个从有限区间 $(-\underline{b}_i, \bar{b}_i)$ 到 $(-\infty, +\infty)$ 的一一映射。选择 w_i 的表达式为

$$w_i = W_i\left(\frac{e_i}{p_i}\right) = \ln(\underline{b}_i + \frac{e_i}{p_i}) - \ln(\bar{b}_i - \frac{e_i}{p_i}) \quad (2.4.7)$$

对于上式进行分析可知, 函数 $w_i(\cdot)$ 满足前述的各种要求。由公式(2.4.5)-(2.4.7)可以看出, 如果 w_i 为有界量, 则 $\frac{e_i}{p_i} \in (-\underline{b}_i, \bar{b}_i)$, 从而指定跟踪性能(2.4.4)能够得到保证。因此, 在后续的控制设计, 为了实现指定跟踪性能, 仅需保证 w_i 的有界性。



2.4.3 高超声速飞行器跟踪控制器设计

通过对公式进行分析可以看出，飞行器的高度变化主要受到升降舵偏转角的影响，而飞行器速度的变化主要受到发动机油门开度的影响。因此，可以将飞行器纵向模型划分为高度子系统和速度子系统，然后分别进行控制器设计。因为主要考虑高超声速飞行器巡航段的控制问题，可以对模型做如下假设：

假设1 推力项 $T \sin \alpha$ 远小于升力项 L 以至于其可以忽略。

假设2 飞行器航迹角 γ 足够小，有关系 $\sin \gamma \approx \gamma$ 。

假设3 高度参考指令 h_r 以及其前两阶导数 \dot{h}_r, \ddot{h}_r 均有界；速度参考指令以及其导数 \dot{V}_r 均有界。



根据假设1和假设2，可得到如下高度子系统的数学模型

$$\begin{aligned}\dot{x}_1 &= f_1 + g_1(V)x_2 \\ \dot{x}_2 &= f_2(x_1, x_2, V) + g_2(V)x_3 \\ \dot{x}_3 &= f_3 + g_3x_4 \\ \dot{x}_4 &= f_4(x, V) + g_4(V)\delta_e\end{aligned}\tag{2.4.8}$$



式中, $x = [x_1, x_2, x_3, x_4]^T = [h, \gamma, \theta_p, q]$, $f_1 = 0$, $g_1(V) = V$

$$f_2(x_1, x_2, V) = -\frac{\mu - V^2 r}{V r^2} \cos(\gamma) - g_2(V) \gamma, \quad g_2(V) = \bar{q} S \frac{C_L^\alpha}{m V}, \quad f_3 = 0, \quad g_3 = 1$$
$$f_4(x, V) = \bar{q} S \bar{c} \frac{C_M(\alpha) + C_M(q) - c_e \alpha}{I_{yy}} \quad g_4(V) = \bar{q} S \bar{c} \frac{c_e}{I_{yy}}$$

速度子系统模型为

$$\dot{V} = f_5(x, V) + g_5(x, V) C_T^{\delta_T} \delta_T \quad (2.4.9)$$

式中,

$$f_5(x, V) = \bar{q} S \frac{C_T^0 \cos \alpha + C_D^{\alpha^2} \alpha^2 - C_D^\alpha \alpha - C_D^0}{m} - \frac{G \sin \gamma}{r^2}, \quad g_5(x, V) = \bar{q} S \frac{\cos \alpha}{m}$$



高度跟踪控制器设计

主要考虑高超声速飞行器的巡航控制问题。在巡航状态下，高超声速飞行器不会做大过载运动，飞行器速度变化较小。基于这个特点，做如下假设：

假设4 飞行器速度变化相对较慢，以至于 $\frac{\dot{g}_i(V)}{g_i^2(V)} \approx 0$ ，而且存在正

常数 g_M 和 g_m 使得 $g_M \geq g_i(V) \geq g_m > 0 \quad i = 1, 2, 4, 5$ 。

高度子系统的控制器设计分为四个步骤进行，控制律在最后一步中得出。控制器设计之前，定义如下正标量 $c_i (i = 1, \dots, 4)$, $\alpha_j, \tau_j (j = 2, 3, 4)$, $\mu_k (k = 1, 2)$ 和正定矩阵 Γ_1, Γ_2 作为控制器参数。



第1步：定义高度子系统的第一个面误差变量为 $s_1 = w_1$ ，其中 w_1 的定义见公式 (2.4.7)。考虑公式 (2.4.8) 和 (2.4.5) 可得

$$\dot{s}_1 = \zeta_1 (g_1 x_2 - \dot{h}_r - \frac{e_1 \dot{p}_1}{p_1}) \quad (2.4.10)$$

其中 $\zeta_1 = \frac{\partial W_1}{\partial \frac{e_1}{p_1}} \frac{1}{p_1}$ 。因为 W_1 严格递增且 $p_1 > 0$ ，因此可知 $\zeta_1 > 0$ 。定义

如下二次型函数

$$H_1 = \frac{1}{2g_1} s_1^2 \quad (2.4.11)$$



考虑公式 (2.4.10) 和假设2.4对 H_1 求导

$$\dot{H}_1 = s_1 \zeta_1 \left[x_2 - \frac{1}{g_1} (\dot{h}_r + \frac{e_1 \dot{p}_1}{p_1}) \right] \quad (2.4.12)$$

设计虚拟控制信号 x_{d2} 为

$$x_{d2} = \frac{1}{\zeta_1} \left[-c_1 s_1 - \frac{1}{\alpha_1} \zeta_1^2 s_1 + \zeta_1 \frac{1}{g_1} (\dot{h}_r + \frac{e_1 \dot{p}_1}{p_1}) \right] \quad (2.4.13)$$

将公式 (2.4.13) 代入公式 (2.4.12) 中可得

$$\dot{H}_1 = -c_1 s_1^2 - \frac{1}{\alpha_1} \zeta_1^2 s_1^2 + s_1 \zeta_1 (x_2 - x_{d2}) \quad (2.4.14)$$



为了避免“微分爆炸”问题，我们让虚拟控制信号 x_{d2} 通过如下一阶低通滤波器

$$\tau_2 \dot{z}_2 + z_2 = x_{d2} \quad (2.4.15)$$

其中, τ_2 为滤波器时间常数。从公式 (2.4.15) 可以看出, 在接下来的设计中 z_2 和 $\dot{z}_2 = \frac{x_{d2} - z_2}{\tau_2}$ 可以直接被用于控制器设计当中。

第2步：定义高度子系统的第二个面误差为

$$s_2 = x_2 - z_2 \quad (2.4.16)$$

考虑公式 (2.4.8) 以及 f_2 和 g_2 的具体表达式可得

$$\dot{s}_2 = g_2[x_3 + g_2^{-1}(f_2 - \dot{z}_2)] = g_2(x_3 - x_2 + \theta_1^T \phi_1) \quad (2.4.17)$$



上式中, $\theta_1 = [\frac{mG}{\rho S C_L^\alpha}, \frac{m}{\rho S C_L^\alpha}]^T \in \mathbb{R}^2$, $\phi_1 = [-\frac{2 \cos \gamma}{V^2 r^2}, \frac{2(V \cos \gamma - r \dot{z}_2)}{V r}]^T \in \mathbb{R}^2$ 。

考虑到飞行器相关参数难以精确获得, 假设飞行器相关气动参数和惯性参数为未知, 即 θ_1 为未知列向量, 并采用自适应律对其进行在线估计, 估计值定义为 $\hat{\theta}_1$ 。定义如下二次型函数

$$H_2 = \frac{1}{2g_2} s_2^2 + \frac{1}{2} \tilde{\theta}_1^T \Gamma_1^{-1} \tilde{\theta}_1 \quad (2.4.18)$$

其中, $\tilde{\theta}_1 := \theta_1 - \hat{\theta}_1$ 为参数估计误差。



考虑假设4和公式 (2.4.17) , 对上式求导可得

$$\dot{H}_2 = s_2(x_3 - x_2 + \theta_1^T \phi_1) - \tilde{\theta}_1^T \Gamma_1^{-1} \dot{\hat{\theta}}_1 \quad (2.4.19)$$

设计虚拟控制信号 x_{d3} 和自适应律 $\dot{\hat{\theta}}_1$ 为:

$$x_{d3} = -c_2 s_2 + x_2 - \frac{\alpha_1}{2} s_2 - \frac{1}{\alpha_2} s_2 - \hat{\theta}_1^T \phi_1 \quad (2.4.20)$$

$$\dot{\hat{\theta}}_1 = \Gamma_1(s_2 \phi_1 - \mu_1 \hat{\theta}_1) \quad (2.4.21)$$

将公式 (2.4.20) 和公式 (2.4.21) 代入公式 (2.4.19) 中有

$$\dot{H}_2 = -c_2 s_2^2 - \frac{\alpha_1}{2} s_2^2 - \frac{1}{\alpha_2} s_2^2 + \mu_1 \tilde{\theta}_1^T \hat{\theta}_1 + s_2(x_3 - x_{d3}) \quad (2.4.22)$$



令 x_{d3} 通过如下一阶低通滤波器

$$\tau_3 \dot{z}_3 + z_3 = x_{d3} \quad (2.4.23)$$

其中, τ_3 为滤波器时间常数。

第3步：定义

$$s_3 = x_3 - z_3, \quad H_3 = \frac{1}{2} s_3^2 \quad (2.4.24)$$

采用类似于公式 (2.4.18) 到公式 (2.4.22) 的步骤, 可以得到

$$\dot{H}_3 = -c_3 s_3^2 - \frac{\alpha_2}{2} s_3^2 - \frac{1}{\alpha_3} s_3^2 + s_3 (x_4 - x_{d4}) \quad (2.4.25)$$

其中

$$x_{d4} = -c_3 s_3 - \frac{\alpha_2}{2} s_3 - \frac{1}{\alpha_3} s_3 + \dot{z}_3 \quad (2.4.26)$$



令 x_{d4} 通过如下一阶低通滤波器

$$\tau_4 \dot{z}_4 + z_4 = x_{d4} \quad (2.4.27)$$

第4步：定义最后一个面误差变量为

$$s_4 = x_4 - z_4 \quad (2.4.28)$$

考虑公式 (2.4.8) 可得

$$\dot{s}_4 = g_4 [\delta_e + g_4^{-1} (f_4 - \dot{z}_4)] = g_4 [\delta_e + x_2 - x_3 + \theta_2^T \phi_2] \quad (2.4.29)$$

其中, $\theta_2 = [\frac{1}{c_e} C_{M,\alpha}^{\alpha^2}, \frac{1}{c_e} C_{M,\alpha}^{\alpha}, \frac{1}{c_e} C_{M,\alpha}^0, \frac{\bar{c}}{c_e} C_{M,q}^{\alpha^2}, \frac{\bar{c}}{c_e} C_{M,q}^{\alpha}, \frac{\bar{c}}{c_e} C_{M,q}^0, \frac{1}{\rho S \bar{c} c_e} I_{yy}]^T \in \mathbb{R}^7$,

$$\phi_2 = [\alpha^2, \alpha, 1, \frac{q\alpha^2}{2V}, \frac{q\alpha}{2V}, \frac{q}{2V}, \frac{-2\dot{z}_4}{V^2}]^T \in \mathbb{R}^7. \quad (2.4.30)$$



同样的, θ_2 为未知向量。设计自适应律对其进行估计, 令估计值为 $\hat{\theta}_2$, 并定义估计误差为 $\tilde{\theta}_2 := \theta_2 - \hat{\theta}_2$ 。

考虑二次型函数

$$H_4 = \frac{1}{2g_4} s_4^2 + \frac{1}{2} \tilde{\theta}_2^T \Gamma_2^{-1} \tilde{\theta}_2 \quad (2.4.31)$$

对 H_4 进行求导可得

$$\dot{H}_4 = s_4 (\delta_e + x_2 - x_3 + \theta_2^T \phi_2) - \tilde{\theta}_2^T \Gamma_2^{-1} \dot{\tilde{\theta}}_2 \quad (2.4.32)$$

设计控制信号和自适应律为

$$\delta_e = -c_4 s_4 - \frac{\alpha_3}{2} s_4 - x_2 + x_3 - \hat{\theta}_2^T \phi_2 \quad (2.4.33)$$

$$\dot{\hat{\theta}}_2 = \Gamma_2 (s_4 \phi_2 - \mu_2 \hat{\theta}_2) \quad (2.4.34)$$



考虑公式 (2.4.33) 和 (2.4.34), 可以进一步得到 \dot{H}_4 为

$$\dot{H}_4 = -c_4 s_4^2 + \mu_2 \tilde{\theta}_2^T \hat{\theta}_2 \quad (2.4.35)$$



高度子系统稳定性证明

首先根据公式 (2.4.15)、(2.4.23) 和 (2.4.27)，定义如下误差变量

$$Y_i = z_i - x_{di}, \quad i = 2, 3, 4 \quad (2.4.36)$$

注意到

$$\dot{z}_i = \frac{x_{di} - z_i}{\tau_i} = -\frac{Y_i}{\tau_i}, \quad x_i - x_{di} = s_i + Y_i, \quad i = 2, 3, 4 \quad (2.4.37)$$

结合公式 (2.4.36) 可得

$$\dot{Y}_i = -\frac{Y_i}{\tau_i} - \dot{x}_{di}, \quad i = 2, 3, 4 \quad (2.4.38)$$



此外，由公式 (2.4.13) 已知 x_{d2} 是关于 $(x_1, h_r, \dot{h}_r, p_1, \dot{p}_1)$ 的连续可微函数。因此， \dot{x}_{d2} 可以表示为

$$\dot{x}_{d2} = \frac{\partial x_{d2}}{\partial x_1} \dot{x}_1 + \frac{\partial x_{d2}}{\partial h_r} \dot{h}_r + \frac{\partial x_{d2}}{\partial \dot{h}_r} \ddot{h}_r + \frac{\partial x_{d2}}{\partial p_1} \dot{p}_1 + \frac{\partial x_{d2}}{\partial \dot{p}_1} \ddot{p}_1 \quad (2.4.39)$$

因为 $h_r, \dot{h}_r, \ddot{h}_r, p_1, \dot{p}_1, \ddot{p}_1$ 均为有界量，进而考虑公式 (2.4.8) 和 (2.4.37)，有

$$|\dot{x}_{d2}| \leq \Xi_2(s_1, s_2, Y_2) \quad (2.4.40)$$

上式中， Ξ_2 为一个连续函数。类似的，可得

$$|\dot{x}_{d3}| \leq \Xi_3(s_1, s_2, s_3, Y_2, Y_3, \hat{\theta}_1) \quad (2.4.41)$$

$$|\dot{x}_{d4}| \leq \Xi_4(s_1, s_2, s_3, s_4, Y_2, Y_3, Y_4, \hat{\theta}_1, \hat{\theta}_2) \quad (2.4.42)$$



结合公式 (2.4.38) , (2.4.40) , (2.4.41) 和 (2.4.42) 可得

$$Y_i \dot{Y}_i \leq -\frac{Y_i^2}{\tau_i} + \Xi_i |Y_i|, \quad i = 2, 3, 4 \quad (2.4.43)$$

定义如下准Lyapunov函数

$$H = \sum_{i=1}^4 H_i + \sum_{i=2}^4 \frac{Y_i^2}{2} \quad (2.4.44)$$



定理 2.4 考虑由飞行器纵向模型 (2.4.8) , 一阶低通滤波器 (2.4.15) 、 (2.4.23) 和 (2.4.27) , 自适应律 (2.4.21) 、 (2.4.34) 和控制律 (2.4.33) 。若假设1-4均成立, 则对于任意常数 $R > 0$, 如果 $H(0) \leq R$, 则存在设计参数 $c_i, (i = 1, \dots, 4), \alpha_j, \tau_{j+1} (j = 1, 2, 3), \mu_k, \Gamma_k (k = 1, 2)$ 使得闭环系统所有信号均有界, 且指定跟踪性能 (2.4.4) 能够得到保证。

证明: 基于公式 (2.4.14) , (2.4.19) , (2.4.25) , (2.4.32) 和 (2.4.43) 对公式 (2.4.52) 进行求导可得

$$\begin{aligned} \dot{H} \leq & -\sum_{i=1}^4 c_i s_i^2 - \frac{1}{\alpha_1} \zeta_1^2 s_1^2 + s_1 \zeta_1 (s_2 + Y_2) - \frac{\alpha_1}{2} s_2^2 - \frac{1}{\alpha_2} s_2^2 + s_2 (s_3 + Y_3) - \frac{\alpha_2}{2} s_3^2 - \frac{1}{\alpha_3} s_3^2 \\ & + s_3 (s_4 + Y_4) - \frac{\alpha_3}{2} s_4^2 + \sum_{i=1}^2 \mu_i \tilde{\theta}_i \hat{\theta}_i - \sum_{i=2}^4 \left(\frac{Y_i^2}{\tau_i} - \Xi_i |Y_i| \right) \end{aligned} \quad (2.4.45)$$



由三角不等式可证得

$$2\tilde{\theta}_i^T \hat{\theta}_i \leq -\|\tilde{\theta}_i\|^2 + \|\theta_i\|^2, \quad s_1 \zeta_1 (s_2 + Y_2) \leq \frac{1}{\alpha_1} \zeta_1^2 s_1^2 + \frac{\alpha_1}{2} s_2^2 + \frac{\alpha_1}{2} Y_2^2 \quad (2.4.46)$$

$$s_j (s_{j+1} + Y_{j+1}) \leq \frac{1}{\alpha_j} s_j^2 + \frac{\alpha_j}{2} s_{j+1}^2 + \frac{\alpha_j}{2} Y_{j+1}^2, \quad \Xi_i |Y_i| \leq \frac{\alpha_{i-1}}{2} \Xi_i^2 Y_i^2 + \frac{1}{2\alpha_{i-1}} \quad (2.4.47)$$

第一个不等式的证明如下

$$2\tilde{\theta}_i^T \hat{\theta}_i = 2\tilde{\theta}_i^T (\theta_i - \tilde{\theta}_i) \leq -2\|\tilde{\theta}_i\|^2 + \|\tilde{\theta}_i\|^2 + \|\theta_i\|^2 \leq -\|\tilde{\theta}_i\|^2 + \|\theta_i\|^2 \quad (2.4.48)$$

将公式 (2.4.46) 和 (2.4.47) 代入公式 (2.4.45) 可得

$$\dot{H} \leq -\sum_{i=1}^4 c_i s_i^2 - \sum_{i=1}^2 \frac{\mu_i}{2} \|\tilde{\theta}_i\|^2 + \sum_{i=1}^3 \frac{1}{2\alpha_i} - \sum_{i=2}^4 \left(\frac{1}{\tau_i} - \frac{\alpha_{i-1}}{2} - \frac{\alpha_{i-1}}{2} \Xi_i^2 \right) Y_i^2 + \sum_{i=1}^2 \frac{\mu_i}{2} \|\theta_i\|^2 \quad (2.4.49)$$



定义紧集

$$\Omega = \left\{ -\frac{1}{g_M} s_1^2 + \frac{1}{g_M} s_2^2 + s_3^2 + \frac{1}{g_M} s_4^2 + \sum_{i=1}^2 \tilde{\theta}_i^T \Gamma_i^{-1} \tilde{\theta}_i + \sum_{i=2}^4 Y_i^2 \leq 2R \right\} \quad (2.4.50)$$

显然，连续函数 Ξ_i 在紧集 Ω 上存在最大值，记为 M_i 。从而有 $\Xi_i^2 \leq M_i^2$ ，

进而结合公式 (2.4.49) 可得

$$\dot{H} \leq -\sum_{i=1}^4 c_i s_i^2 - \sum_{i=1}^2 \frac{\mu_i}{2} \|\tilde{\theta}_i\|^2 - \sum_{i=2}^4 \left(\frac{1}{\tau_i} - \frac{\alpha_{i-1}}{2} - \frac{\alpha_{i-1}}{2} M_i^2 \right) Y_i^2 + \sum_{i=1}^3 \frac{1}{2\alpha_i} + \sum_{i=1}^2 \frac{\mu_i}{2} \|\theta_i\|^2 \quad (2.4.51)$$

通过选择控制器参数使得 $\frac{1}{\tau_i} > \frac{\alpha_{i-1}}{2} + \frac{\alpha_{i-1}}{2} M_i^2$ ，有

$$\dot{H} \leq -2\kappa_1 H + \kappa_2 \quad (2.4.52)$$



上式中,

$$\kappa_1 = \min \left\{ c_i g_m \ (i=1,2,4), c_3, \frac{1}{\tau_{j+1}} - \frac{\alpha_j}{2} - \frac{\alpha_j}{2} M_{j+1}^2 \ (j=1,2,3), \frac{\mu_k}{2\lambda_{\max}(\Gamma_k^{-1})} \ (k=1,2) \right\}$$

$$\kappa_2 = \sum_{i=1}^3 \frac{1}{2\alpha_i} + \sum_{i=1}^2 \frac{\mu_i}{2} \|\theta_i\|^2$$

其中 $\lambda_{\max}(\Gamma_i^{-1})$ 为 Γ_i^{-1} 的最大特征值。选择控制器参数使得 $\kappa_1 > \frac{\kappa_2}{2R}$, 从

而在 $H=R$ 上有 $\dot{H} \leq 0$ 。因此可知 $H \leq R$ 为不变集。对公式 (2.4.52) 进行求解可得

$$0 \leq H(t) \leq \frac{\kappa_2}{2\kappa_1} + (H(0) - \frac{\kappa_2}{2\kappa_1}) \exp(-2\kappa_1 t) \quad (2.4.53)$$



由上式可以看出 H 为有界量，因此 H 中所包含的所有误差变量均有界。即 $(s_i (i=1, \dots, 4), Y_j (j=1, 2, 3), \tilde{\theta}_k (k=1, 2))$ 均有界。结合 $(h_r, \dot{h}_r, \ddot{h}_r)$ 的有界性和 $\theta_i (i=1, 2)$ 的有界性，容易证明闭环系统的所有信号均有界。此外，通过 s_1 的有界性可以得出指定跟踪性能 (2.4.4) 能够得到保证。



速度跟踪控制器设计

首先，定义速度跟踪误差为

$$e_2 = V - V_r \quad (2.4.54)$$

考虑公式 (2.4.7) 和 (2.4.9) 可得 $s_5 = w_2$ 的导数为

$$\dot{s}_5 = \zeta_2 g_5 (C_T^{\delta_T} \delta_T + \theta_3^T \phi_3) \quad (2.4.55)$$

$$\text{其中 } \theta_3 = [C_T^0, C_D^{\alpha^2}, C_D^\alpha, C_D^0, \frac{mG}{\rho S}, \frac{m}{\rho S}]^T \in \mathbb{R}^6 \quad \zeta_2 = (\partial W_2 / \partial \frac{e_2}{p_2}) \frac{1}{p_2}$$

$$\phi_3 = [1, \frac{-\alpha^2}{\cos \alpha}, \frac{-\alpha}{\cos \alpha}, \frac{-1}{\cos \alpha}, \frac{-2 \sin \gamma}{V^2 r^2 \cos \alpha}, \frac{-2(\dot{V}_r + e_2 \dot{p}_2 / p_2)}{V^2 \cos \alpha}]^T \in \mathbb{R}^6$$

为了进行控制器设计，首先定义

$$l = \min C_T^{\delta_T}, \quad o = \max \frac{\|\theta_3\|^2}{l} \quad (2.4.56)$$



定义速度子系统的Lyapunov函数为

$$H_5 = \frac{1}{2g_5} s_5^2 + \frac{l}{2\sigma_1} \tilde{o}^2 \quad (2.4.57)$$

其中, $\tilde{o} := o - \hat{o}$, \hat{o} 为 o 的估计。对公式 (2.4.57) 进行求导可以得

$$\dot{H}_5 = s_5 \zeta_2 (C_T^{\delta_T} \delta_T + \theta_3^T \phi_3) - \frac{l}{\sigma_1} \tilde{o} \dot{\tilde{o}} \quad (2.4.58)$$

基于定义 (2.4.56) 式, 可对上式进行如下放缩

$$\dot{H}_5 \leq s_5 \zeta_2 C_T^{\delta_T} \delta_T + \frac{l}{2} s_5^2 \zeta_2^2 o \|\phi_3\|^2 + \frac{1}{2} - \frac{l}{\sigma_1} \tilde{o} \dot{\tilde{o}} \quad (2.4.59)$$

设计油门开度为

$$\delta_T = -c_5 \frac{s_5}{\zeta_2} - \frac{1}{2} s_5 \hat{o} \zeta_2 \|\phi_3\|^2 \quad (2.4.60)$$



$\hat{\sigma}$ 的自适应律为

$$\dot{\hat{\sigma}} = \sigma_1 \left(\frac{1}{2} \zeta_2^2 s_5^2 \|\phi_3\|^2 - \varepsilon_1 \hat{\sigma} \right), \quad \hat{\sigma}(0) \geq 0 \quad (2.4.61)$$

将公式 (2.4.61) 和公式 (2.4.62) 代入公式 (2.4.60) 可得

$$\dot{H}_5 \leq -c_5 \iota s_5^2 + \iota \varepsilon_1 \tilde{\sigma} \hat{\sigma} + \frac{1}{2} \quad (2.4.62)$$

采用和高度子系统类似的稳定性证明, 由上式容易得出速度子系统各闭环信号均有界, 且指定跟踪性能 (2.4.7) 能够得到保证。



2.4.4 仿真结果与分析

仿真中，系统状态变量的初始值设置为 $h(0) = 110000\text{ft}$ ， $V(0) = 15060\text{ft/s}$
 $\gamma(0) = 0\text{rad}$ ， $\theta_p(0) = 0.005\text{rad}$ ， $q(0) = 0\text{rad/s}$ 。各气动参数和惯性参数的标称值如下表中所示。

表 2.4.2 飞行器各气动及惯性参数标称值

$m = 9375$	$I_{yy} = 7 \times 10^6$	$S = 3603$	$G = 1.39 \times 10^{16}$
$c_e = 0.0292$	$\rho = 0.24325 \times 10^{-4}$	$C_D^{\alpha^2} = 0.6450$	$C_D^\alpha = 0.0043378$
$C_D^0 = 0.003772$	$C_L^\alpha = 0.6203$	$C_T^{\delta_r} = 0.00336(\text{if } \delta_r > 1)$	$C_T^0 = 0.0224(\text{if } \delta_r > 1)$
$C_T^{\delta_r} = 0.02576(\text{if } \delta_r \leq 1)$	$C_T^0 = 0(\text{if } \delta_r \leq 1)$	$C_{M,\alpha}^{\alpha^2} = 0.035$	$C_{M,\alpha}^\alpha = 0.036617$
$C_{M,\alpha}^0 = 5.3261 \times 10^{-6}$	$C_{M,q}^{\alpha^2} = -6.796$	$C_{M,q}^\alpha = 0.3015$	$C_{M,q}^0 = -0.2289$
$\bar{c} = 80$			



表2.4.2 控制器参数取值

$c_1 = 0.0002$	$c_2 = 40$	$c_3 = 10$	$c_4 = 10$	$c_5 = 2$	$p_{01} = 50$
$p_{\infty 1} = 7$	$p_{02} = 10$	$p_{\infty 2} = 1$	$\bar{b}_1 = 1$	$\underline{b}_1 = 1$	$\bar{b}_2 = 1$
$\underline{b}_2 = 1$	$a_1 = 0.1$	$a_2 = 0.1$	$\alpha_1 = 80$	$\alpha_2 = 1$	$\alpha_3 = 1$
$\tau_2 = 0.01$	$\tau_3 = 0.01$	$\tau_4 = 0.01$	$\Gamma_1 = 0.3I_2$	$\Gamma_2 = 0.1I_7$	$\mu_1 = 0.05$
$\mu_2 = 0.02$	$\sigma_1 = 0.1$	$\varepsilon_1 = 0.01$			

高度参考指令和速度参考指令由如下系统生成

$$\frac{h_r}{h_c} = \frac{\omega_1 \omega_2^2}{(s + \omega_1)(s^2 + 2\zeta\omega_2 s + \omega_2^2)}, \quad h_r(0) = 110000 \text{ft}, \quad \frac{V_r}{V_c} = \frac{\omega_1}{s + \omega_1}, \quad V_r(0) = 15060 \text{ft/s} \quad (2.4.63)$$

上式中, s 为拉普拉斯算子, $\omega_1 = 0.5$, $\omega_2 = 0.3$, $\zeta = 0.95$, h_c 和 V_c 设定为:

$$h_c = \begin{cases} 110000 \text{ ft} & \text{if } t < 10 \text{ s} \\ 112000 \text{ ft} & \text{if } t \geq 10 \text{ s} \end{cases} \quad V_c = \begin{cases} 15060 \text{ ft/s} & \text{if } t < 30 \text{ s} \\ 15160 \text{ ft/s} & \text{if } t \geq 30 \text{ s} \end{cases} \quad (2.4.64)$$



2.4 高超声速飞行器自适应控制

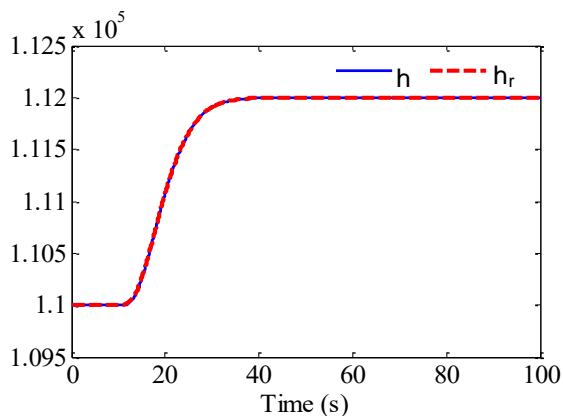


图2.4.3 高度跟踪

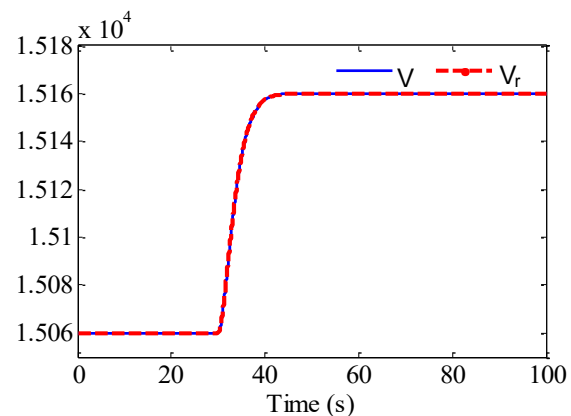


图 2.4.4 速度跟踪

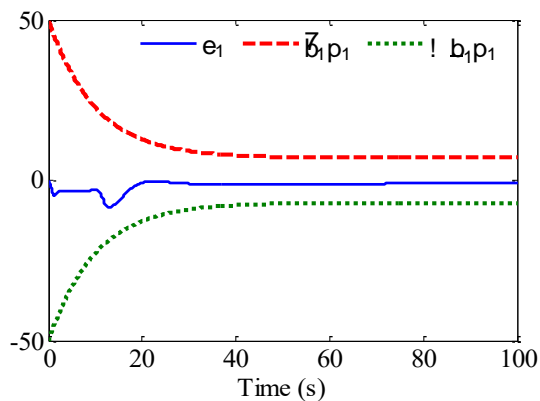


图 2.4.5 高度跟踪误差

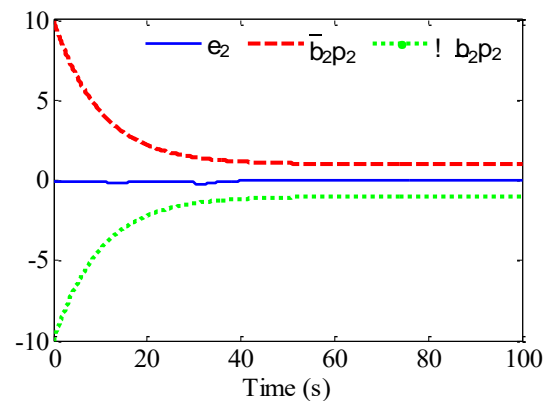


图 2.4.6 速度跟踪误差



2.4 高超声速飞行器自适应控制

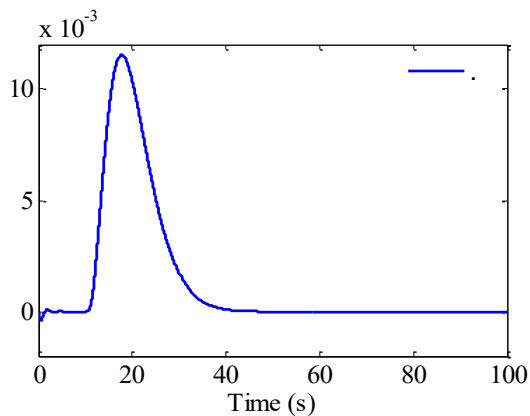


图 2.4.7 航迹角响应

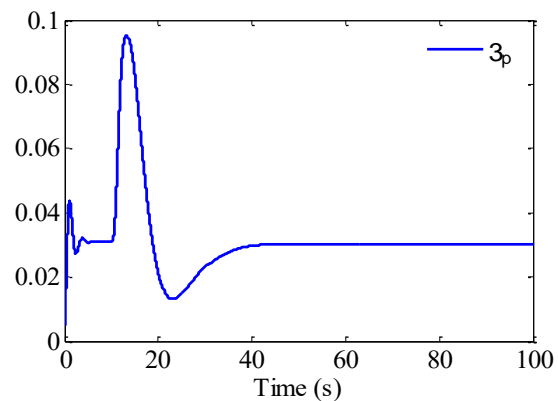


图 2.4.8 俯仰角响应

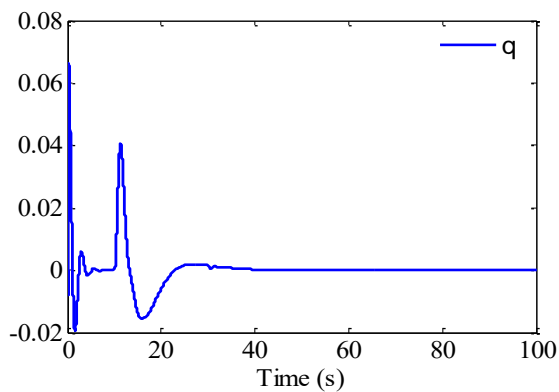


图 2.4.9 俯仰角速率响应

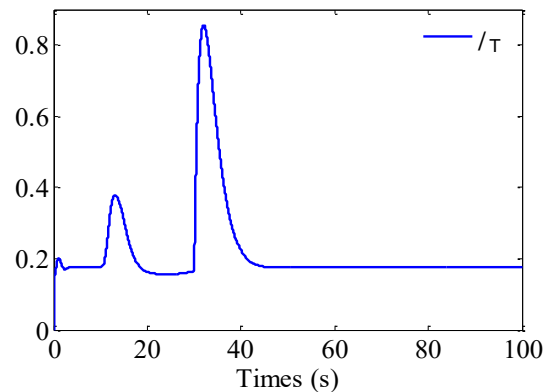


图 2.4.10 油门开度



2.4 高超声速飞行器自适应控制

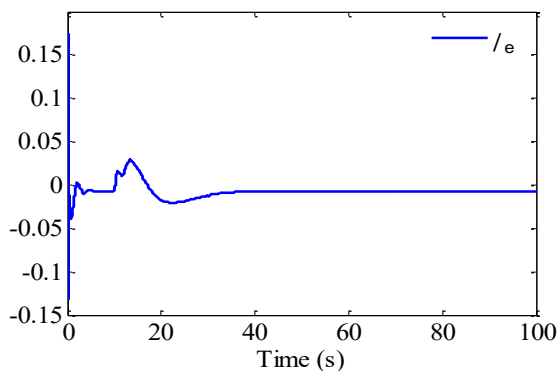


图 2.4.11 升降舵偏角

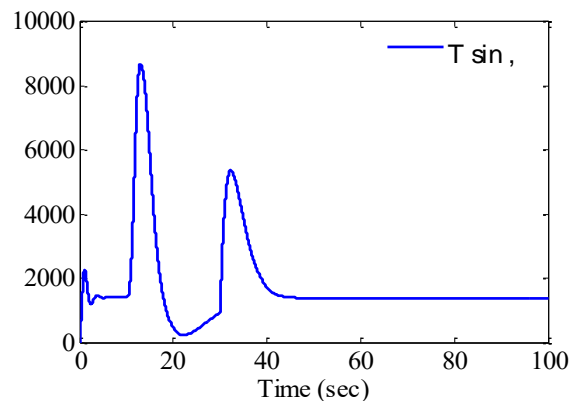


图 2.4.12 $T \sin(\alpha)$

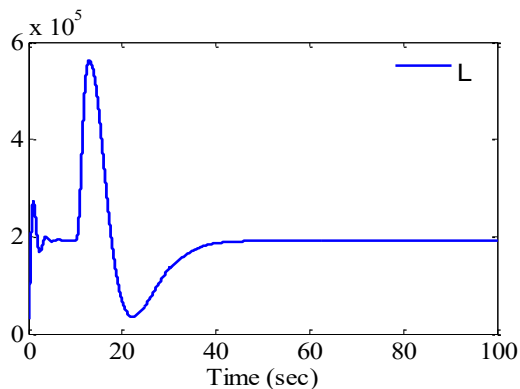


图 2.4.13 升力

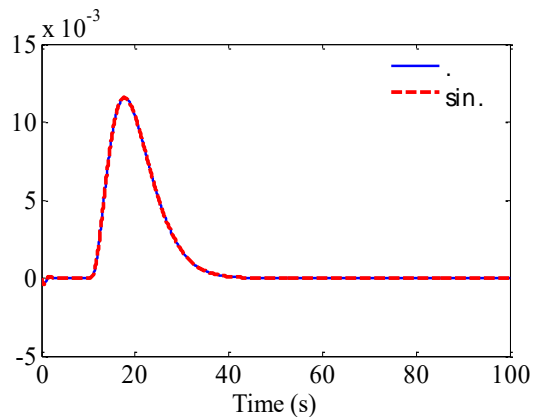


图 2.4.14 γ 和 $\sin \gamma$